

เอกสารอ้างอิง

1. Prapan Siriplabphar "Analysis and Contruction of a Balancing Machine" Master's Thesis, Department of Mechanical Engineering, Chulalongkorn University, 1979.
2. Cyril M. Harris and charles, E. in shock and Vibration Hand Book, 2 nd. ed., pp, 1-31, Mcgraw-Hill Book Company, New York, 1976.
3. Thearle, E.L. "Dynamic Balancing of Rotating Machinery in the Fields" Tran. ASME APM 56-19, Vol. 56, (1934) : 745-753
4. Lawrence, A. "Balancing principles and Equipment" Measurement & DATA (1970) : 80-86
5. Lindley, R. Maintenance Engineering Hand Book, 3 th ed., No. 13 pp. 138-150, Mcgraw-Hill Book Co., New york, 1977.
6. Wort, J.F.G. The Fundamentals of Industrial Balancing Machines and Their Application Turbine Division Boring Co.Ltd., 41-47 strand., London W.C., 1980.
7. Joseph, E. and John , J. in Theory of Mechanics and Mechanisms. pp. 478-500, Mcgraw-Hill Book., Toshio, 1981.
8. Virgil, Moring Faieres in Design of Machine Elements, 4 th ed., Collier-Macmillan International, 1965.
9. Doebelin, E.O. Circuit Analysis Mechanical Analysis Lab. (1970): 94-102.
10. Senger, W.I. "performance Tests for Balancing Machine" Machinery n 2391 , 2392. Vol. 93 , (1958) : 583-593 , 705-712.
11. Macinante , J.A. "Calibrating Dynamic Balancing Machines" Engineering (1956) : 174.
12. Karelitz , G.B. "Field Balancing Rotors at operating speed" power Vol. 67. (1928) : 237-240 , 280-289.

13. Harris, M. in Hand Book of Noise Control , No 13. pp. 20-24, Mcgraw-Hill Book Co., New York , 1957.
14. William , T. "Analytical single-plane-Balancing" power Vol. 121., (1977) : 76-78.
15. Jackson, C. in The practical Vibration primer , pp. 16-49 , Gulf publishing Co., 1979.
16. Den Hartog, J.P. in Mechanical Vibration. pp.239-243 , Mcgraw-Hill Book Co., Inc., New York , 1956.
17. David , V. in Applied Mechanism Vibration. pp. 93-112, Mcgraw-Hill Book Co., New York , 1981.
18. Richard M. in Dynamics of Machinery. pp. 99-101, Mcgraw-Hill Book Co., New York , 1967.
19. Stephen , G. "programmable calculators simplify of rotaing Equip-ment" power (1979) : 70-77
20. James , W. in Experimental stress Analysis , 2 nd ed., pp. 165-261, Mcgraw-Hill Co., New York , 1978.
21. ยืน ภู่วรรณ. อิเลคทรอนิคส์ อุดล้าหกรรม พิมพ์ครั้งที่ 1 ; หน้า 11-102 , บริษัท ซีเอ็ดดูเคชั่น จำกัด , 2524.
22. David , F. in Hand Book of operational Amplifier Circuit Design , No. 1 , 2 PP. 17 , 1-5 Mcgraw-Hill Book Co., New York , 1976.
23. อุดมศักดิ์ ปั้งปิ่น. การนำอิเลคทรอนิคส์ไปใช้งานไฟฟ้ากำลัง หน้า 4-21 ภาควิชาวิศวกรรมไฟฟ้า , สถาบันเทคโนโลยีพระจอมเกล้า ธนบุรี , 2525
24. Beckwith , T.G. in Mechanical Measurement. pp. 252-292, Addison-Wesley publishing Co., Inc., London, 1965.
25. วรที อึ้งภากรณ์ และ ย่าญ ถนัดงาน การออกแบบเครื่องจักรกล , พิมพ์ครั้งที่ 3 หน้า 316 บริษัท ซีเอ็ดดูเคชั่น จำกัด , 2525.



ศูนย์วิทยทรัพยากร
จุฬาลงกรณ์มหาวิทยาลัย

ภาคผนวก ก

ตารางที่ ก-1 ตารางข้อมูลการตรวจสอบสมดุลเพลลาแบบระนาบเดียว

ชนิดของงานที่ทดสอบ : เพลลา

ทดสอบที่ความเร็วรอบ : 1440 rpm

run No.	Condition	Angle of Added TW. ที่ Right correction Plane	แบริ่งขวา (R)	แบริ่งซ้าย (L)
		deg.	Amplitude mA.	Amplitude mA.
1	เพลลาที่จะ Balance หมุน ปราศจาก TW.	-	(u) 0.10	0.07
2	เพลลา + TW. 0.5 กรัม	0	(r _a) 0.14	-
3	เพลลา + TW. 0.5 กรัม	120°	(r _b) 0.07	-
4	เพลลา + TW. 0.5 กรัม	240°	(r _c) 0.11	-
5	เพลลา + Correction wt. 1.25 กรัม ที่ 150°	-	0.02	(u) 0.05

ศูนย์วิทยทรัพยากร
จุฬาลงกรณ์มหาวิทยาลัย

ตารางที่ ก-2 ตารางข้อมูลการตรวจสอบสมดุลเพลลาทั้งสองระนาบ

ชนิดของงานที่ทดสอบ : เพลลา

ทดสอบที่ความเร็วรอบ : 1440 rpm

run No.	condition	Angle of Added TW. ที่ Left correction plane	แบริ่งซ้าย (L)	แบริ่งขวา (R)
		deg.	Amplitude mA.	Amplitude mA.
1	เพลลา + TW. 0.5 กรัม	0	(r_a) 0.10	-
2	เพลลา + TW. 0.5 กรัม	120	(r_b) 0.04	-
3	เพลลา + TW. 0.5 กรัม	240	(r_c) 0.06	-
4	เพลลา + correction wt. 0.5 กรัม, 167° ที่ ระนาบแก๊ซ้ายมือ 1.25 กรัม, 150° ที่ ระนาบแก๊ขวามือ	-	0.01 [1 μ m]	(0.01 [1 μ m])

ศูนย์วิทยทรัพยากร
จุฬาลงกรณ์มหาวิทยาลัย

ตารางที่ ก-3 ตารางข้อมูลการทดสอบ proportionality Test for single-plane

Run No.	unbalance wt. gm	Actual Location deg.	แบริ่งซ้าย (L)	แบริ่งขวา (R)	Location indicate by machine		Error of reading	
			Amplitude mA.	Amplitude mA.	L phase Angle deg.	R phase Angle deg.	L deg.	R deg.
1	1	90	0.07	0.05	-	-	-	-
2	1	90	0.07	0.05	-	-	-	-
3	1	90	0.07	0.05	-	-	-	-
1	2	90	0.14	0.12	200	195	+ 5	+ 6
2	2	90	0.13	0.11	198	195	+ 5	+ 6
3	2	90	0.14	0.12	200	195	+ 5	+ 6
1	3	90	0.20	0.18	198	196	+ 4	+ 4
2	3	90	0.20	0.19	198	196	+ 4	+ 4
3	3	90	0.22	0.17	198	197	+ 4	+ 4
1	4	90	0.29	0.25	200	195	+ 3	+ 3
2	4	90	0.30	0.27	200	195	+ 3	+ 3
3	4	90	0.27	0.24	200	195	+ 3	+ 3
1	5	90	0.37	0.33	200	195	+ 3	+ 3
2	5	90	0.40	0.38	200	195	+ 3	+ 3
3	5	90	0.42	0.37	200	195	+ 3	+ 3
1	6	90	0.53	0.49	200	195	+ 3	+ 3
2	6	90	0.49	0.47	200	195	+ 3	+ 3
3	6	90	0.47	0.45	200	195	+ 3	+ 3

ศูนย์วิทยทรัพยากร
จุฬาลงกรณ์มหาวิทยาลัย

ตารางที่ ก-4 ตารางข้อมูลเฉลี่ยของการทดสอบ proportionality Test for single-plane

Run No.	unbalance wt. gm	Actual Location deg.	แบริ่งซ้าย (L)	แบริ่งขวา (R)	Location indicate by machine		Error of reading	
			Amplitude mA.	Amplitude mA.	L phase Angle deg.	R phase Angle deg.	L deg.	R deg.
1	1	90	0.07	0.05	-	-	-	-
2	2	90	0.136	0.116	199	195	+ 5	+ 6
3	3	90	0.206	0.18	198	196	+ 4	+ 4
4	4	90	0.28	0.253	200	195	+ 3	+ 3
5	5	90	0.396	0.366	200	195	+ 3	+ 3
6	6	90	0.496	0.47	200	195	+ 3	+ 3

ตารางที่ ก-5 ตารางข้อมูลการทดสอบหาขนาดและตำแหน่งของความไม่สมดุลย์สำหรับระนาบ

เดียว

Run No.	Actual Location deg.	Unbalance Weight gram	แบริ่งซ้าย (L)	แบริ่งขวา (R)	Location indicate by machine	
			Amplitude mA.	Amplitude mA.	L phase Angle deg.	R phase Angle deg.
1	0	5	0.39	0.35	110	105
2	30	5	0.38	0.34	140	135
3	60	5	0.38	0.35	170	165
4	90	5	0.39	0.35	200	195
5	120	5	0.40	0.35	232	227
6	150	5	0.40	0.36	263	258
7	180	5	0.41	0.37	295	290
8	210	5	0.41	0.37	325	320
9	240	5	0.41	0.36	355	350
10	270	5	0.41	0.36	375	375
11	300	5	0.39	0.35	50	45
12	330	5	0.39	0.34	80	75

ตารางที่ ก-6 ตารางข้อมูลการทดสอบ proportionality Test ที่เบร้งซ้ายและขวาแบบต้องระนาบ

Run No.	Unbalance Weight Added Left correction plane, gram	Actual Location deg.	เบร้งซ้าย (L)	เบร้งขวา (R)	Location indicate by machine		Error of Reading	
			Amplitude mA.	Amplitude mA.	L phase Angle deg.	R phase Angle deg.	L deg.	R deg.
1	1	0	0.09	0.02	113	-	+ 7	-
2	1	0	0.09	0.02	113	-	+ 7	-
3	1	0	0.08	0.02	113	-	+ 7	-
1	2	0	0.17	0.04	108	-	+ 5	-
2	2	0	0.18	0.04	108	-	+ 5	-
3	2	0	0.18	0.04	108	-	+ 5	-
1	3	0	0.34	0.12	110	282	+ 4	+ 5
2	3	0	0.32	0.10	110	282	+ 4	+ 5
3	3	0	0.34	0.10	110	282	+ 4	+ 5
1	4	0	0.44	0.14	112	282	+ 3	+ 5
2	4	0	0.47	0.16	110	280	+ 3	+ 5
3	4	0	0.47	0.15	110	280	+ 3	+ 5
1	5	0	0.58	0.20	110	285	+ 3	+ 4
2	5	0	0.62	0.20	112	285	+ 3	+ 4
3	5	0	0.58	0.19	110	285	+ 3	+ 4
1	6	0	0.81	0.27	110	285	+ 3	+ 4
2	6	0	0.78	0.24	108	285	+ 3	+ 4
3	6	0	0.77	0.27	108	285	+ 3	+ 4

ตารางที่ ก-7 ตารางข้อมูลการทดสอบ proportionality test ที่แปรงขวาและซ้ายแบบสองระนาบ

Run No.	Unbalance Weight Added Right correction plane gm	Actual Location deg.	แปรงขวา (R)	แปรงซ้าย (L)	Location indicate by machine		Error of reading	
			Amplitude mA.	Amplitude mA.	phase ^R Angle deg.	phase ^L Angle deg.	R deg.	L deg.
1	1	180	0.06	0.01	-	-	-	-
2	1	180	0.07	0.02	-	-	-	-
3	1	180	0.05	0.02	-	-	-	-
1	2	180	0.14	0.04	289	-	+ 5	-
2	2	180	0.16	0.05	289	-	+ 5	-
3	2	180	0.16	0.05	289	-	+ 5	-
1	3	180	0.27	0.09	285	104	+ 4	+ 7
2	3	180	0.27	0.08	285	104	+ 4	+ 7
3	3	180	0.25	0.08	285	105	+ 4	+ 7
1	4	180	0.34	0.10	287	103	+ 3	+ 4
2	4	180	0.38	0.11	287	103	+ 3	+ 4
3	4	180	0.38	0.10	287	103	+ 3	+ 4
1	5	180	0.54	0.16	288	104	+ 3	+ 4
2	5	180	0.50	0.13	288	105	+ 3	+ 4
3	5	180	0.50	0.14	288	104	+ 3	+ 4
1	6	180	0.68	0.21	288	104	+ 3	+ 4
2	6	180	0.67	0.19	288	104	+ 3	+ 4
3	6	180	0.71	0.22	288	105	+ 3	+ 4

ตารางที่ ก-8 ตารางข้อมูลเฉลี่ยของการทดสอบความเป็นสัดส่วนที่แท้จริงซ้ายและขวาแบบสองระนาบ

No.	Unbalance Weight Added Left correction plane gram	Actual Location deg.	แท้จริงซ้าย (L)	แท้จริงขวา (R)	Location indicate by machine		Error of reading	
			Amplitude mA.	Amplitude mA.	L phase Angle deg.	R phase Angle deg.	L deg.	R deg.
1	1	0	0.086	0.02	113	-	+ 7	-
2	2	0	0.176	0.04	108	-	+ 5	-
3	3	0	0.33	0.106	110	282	+ 4	+ 5
4	4	0	0.46	0.15	111	281	+ 3	+ 5
5	5	0	0.593	0.196	111	285	+ 3	+ 4
6	6	0	0.786	0.26	109	285	+ 3	+ 4

ตารางที่ ก-9 ตารางข้อมูลเฉลี่ยของการทดสอบความเป็นสัดส่วนที่แท้จริงขวาและซ้ายแบบสองระนาบ

No.	Unbalance Weight Added Right correction plane gram	Actual Location deg.	แท้จริงขวา (R)	แท้จริงซ้าย (L)	Location indicate by machine		Error of reading	
			Amplitude mA.	Amplitude mA.	R phase Angle deg.	L phase Angle deg.	R deg.	L deg.
1	1	180	0.06	0.016	-	-	-	-
2	2	180	0.153	0.043	289	-	+ 5	-
3	3	180	0.263	0.08	285	104.5	+ 4	+ 7
4	4	180	0.366	0.106	287	103	+ 3	+ 4
5	5	180	0.513	0.143	288	104	+ 3	+ 4
6	6	180	0.69	0.206	288	104	+ 3	+ 4

ตารางที่ ก-10 ตารางข้อมูลการทดสอบหาค่ามุมและตำแหน่งของความไม่สมดุล แบบล่องระนาบ

run No.	Actual Location deg.	unbalance Weight Added Left plane gram	แบริ่งซ้าย (L)	แบริ่งขวา (R)	Location indicate by machine	
			Amplitude mA.	Amplitude mA.	L phase Angle deg.	R phase Ang deg.
1	0	4	0.46	0.16	117	282
2	30	4	0.46	0.15	145	312
3	60	4	0.47	0.15	172	340
4	90	4	0.47	0.15	198	10
5	120	4	0.47	0.14	226	45
6	150	4	0.46	0.14	254	75
7	180	4	0.46	0.15	284	108
8	210	4	0.45	0.16	315	137
9	240	4	0.44	0.16	348	158
10	270	4	0.44	0.17	22	188
11	300	4	0.44	0.17	54	225
12	330	4	0.45	0.17	87	255

ตารางที่ ก-11 ตารางข้อมูลการทดสอบหาค่ามุมและตำแหน่งของความไม่สมดุล แบบล่องระนาบ

run No.	Actual Location deg.	unbalance Weight Added Right Plane gram	แบริ่งขวา (R)	แบริ่งซ้าย (L)	Location indicate by machine	
			Amplitude mA.	Amplitude mA.	R phase Angle deg.	L phase Ang deg.
1	0	4	0.38	0.11	100	297
2	30	4	0.38	0.11	130	325
3	60	4	0.37	0.12	155	352
4	90	4	0.36	0.12	185	18
5	120	4	0.35	0.12	225	46
6	150	4	0.35	0.11	255	74
7	180	4	0.36	0.11	288	104
8	210	4	0.37	0.10	317	135
9	240	4	0.37	0.10	352	168
10	270	4	0.38	0.09	22	202
11	300	4	0.39	0.09	45	234
12	330	4	0.38	0.11	75	267

ตารางที่ ก-12 ตารางการทดสอบหลังจากยื่นงานผ่านการตรวจสอบลุ่มตุลย์

ชนิดของงานที่ทดสอบ : Disk

ทดสอบที่ความเร็วรอบ : 1440 RPM

run No.	condition	แบริ่งซ้าย (L)		แบริ่งขวา (R)	
		Amplitude mA.	phase Angle deg.	Amplitude mA.	phase Ang. deg.
1	Balanced disk	0.01 (1 μ m)	-	0.01 (1 μ m)	-
2	Unbalance = 4x64.2 gm-mm เติมที่ตำแหน่ง 0°	0.28	110	0.25	105

ตารางที่ ก-13 ตารางผลการทดสอบหา Rotor sensitivity

Unbalance	Actual Location deg.	แบริ่งซ้าย (L)	แบริ่งขวา (R)	phase lag	
		Amplitude mA.	Amplitude mA.	L deg.	R deg.
1 gm-mm	0	1.09034×10^{-3}	9.85202×10^{-4}	110	105

ตารางที่ ก-14 ตารางข้อมูลการทดสอบลุ่มตุลย์ระนาบเดียว

ชนิดของงานที่ทดสอบ : Disk

ทดสอบที่ความเร็วรอบ : 1440 RPM

run No.	condition	แบริ่งซ้าย (L)		แบริ่งขวา (R)	
		Amplitude mA.	phase Angle deg.	Amplitude mA.	phase Angle deg.
1	Unbalance disk	0.23	294	0.20	288
2	เติมน้ำหนักที่แท่ง 3.29 กรัมที่มุม 4 องศา	0.03 (2 μ m)	-	0.03 (2 μ m)	-

ตารางที่ ก-15 ตารางการทดสอบหลังจากตรวจสอบสมดุลแล้วแบบสองระนาบ

ชนิดของงานที่ทดสอบ : Disks

ทดสอบที่ความเร็วรอบ : 1440 RPM

Run No.	condition	แบริ่งซ้าย (L) (แบริ่ง a)		แบริ่งขวา (R) (แบริ่ง b)	
		Amplitude mA.	phase Angle deg.	Amplitude mA.	phase Angle deg.
1.	Balanced disks	0.02	-	0.03	-
2	Unbalance 4x64.2 gm-mm เติมที่ 0° ; ระนาบแก้อ้ายมือหรือระนาบแก้อ I	0.46	110	0.16	283
3	Unbalance 4x64.2 gm-mm เติมที่ 0° ระนาบแก้อ ขวามือ หรือระนาบแก้อ II	0.11	104	0.36	290

ตารางที่ ก-16 ตารางผลการทดสอบหา Complex dynamic influence Numbers

unbalance gm-mm	Actual Locationที่ ระนาบแก้อ I deg.	Actual Locationที่ ระนาบแก้อII deg.	แบริ่ง a		แบริ่ง b	
			Amplitude mA.	phase Angle deg.	Amplitude mA.	phase Ang. deg.
1 gm-mm	0	-	α_{aI} 1.79127x10 ⁻³	110	α_{bI} 5.84112x10 ⁻⁴	283
1 gm-mm	-	0	α_{aII} 4.28348x10 ⁻⁴	290	α_{bII} 1.47975x10 ⁻³	104

ตารางที่ ก-17 ตารางข้อมูลการทดสอบแบบสองระนาบ

ชนิดของงานที่ทดสอบ : Disks

ทดสอบที่ความเร็วรอบ : 1440 RPM

run No.	condition	แบริ่ง a		แบริ่ง b	
		Amplitude mA.	phase Angle deg. .	Amplitude mA.	phase Angl deg.
1	แผ่น disks บวก unbalance Weight 3 กรัม เต็มที่ 330° ระนาบแก้ม I และ 4 กรัมเต็ม ที่ 270° ระนาบแก้ม II	0.30	95	0.33	350

ศูนย์วิทยทรัพยากร
จุฬาลงกรณ์มหาวิทยาลัย

ภาคผนวก ข.

4. Guide to Requisite Balancing Quality

Quality group	Type of rotor	(Residual unbalance)	Center-of-gravity displacement, \pm in.
		(Rotor body weight) mmg./kg	
A	High-speed gyros; armatures, shafts, and wheels of fine grinding machines	0.2-1.0	$0.008-0.039 \times 10^{-3}$
B	Armatures of very-high-speed small motors, small and medium gas turbines, high-speed supercharger blowers, grinding machine drives	0.5-2.5	0.020-0.073
C	Rigid small-motor armatures, supercharger blowers, turbines, turbogenerators	2-10	0.078-0.390
D	Armatures of commercial electric motors, fans, machine components, and machine tool components, high-speed gear parts, crankshafts of four-cylinder or more engines, high-speed parts of processing techniques	5-25	0.197-0.985
E	Propeller shafts, one, two, and three-cylinder crankshaft (with reciprocating mass forces which cannot be balanced), motorcycles, tires, wheels, slow-moving parts of crushing machines, textile machines, threshing drums, etc.	20-100	0.780-3.90

* 1 mmg./kg is equivalent to a displacement of the center-of-gravity of 0.001 mm = 1 micron = 39 microinches.

ตารางที่ ข - 1

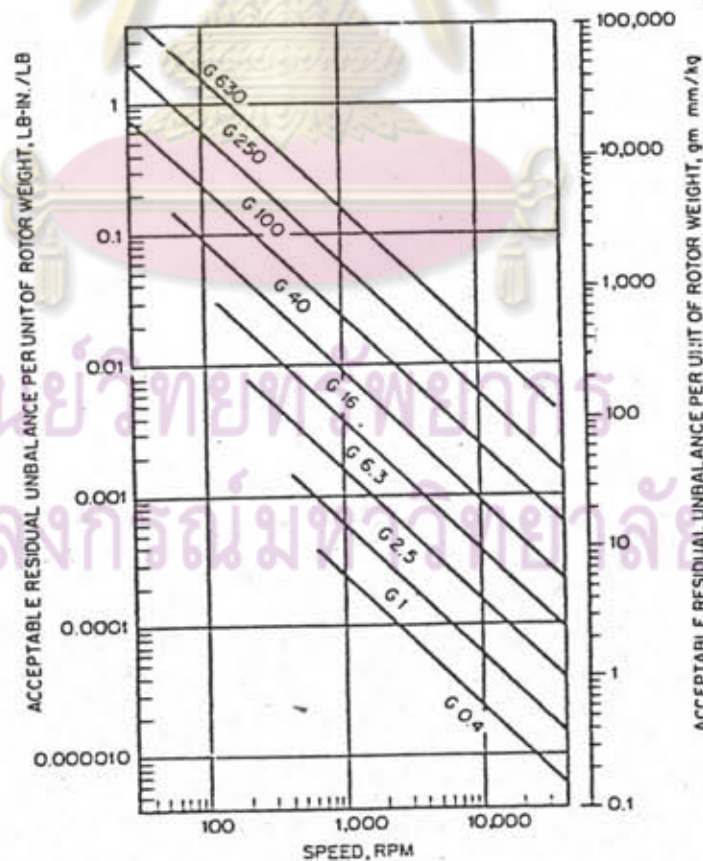
ศูนย์วิทยทรัพยากร
จุฬาลงกรณ์มหาวิทยาลัย

Balance Quality Grades for Various Groups of Rigid Rotors¹³

Balance quality grade	Type of rotor
G4,000.....	Crankshaft drives of rigidly mounted slow marine diesel engines with uneven number of cylinders.
G1,600.....	Crankshaft drives of rigidly-mounted large two-cycle engines.
G630.....	Crankshaft drives of rigidly mounted large four-cycle engines; crankshaft drives of elastically mounted marine diesel engines.
G250.....	Crankshaft drives of rigidly mounted fast four-cylinder diesel engines.
G100.....	Crankshaft drives of fast diesel engines with six or more cylinders; complete engines (gasoline or diesel) for cars and trucks.
G40.....	Car wheels, wheel rims, wheel sets, drive shafts; crankshaft drives of elastically mounted fast four-cycle engines (gasoline or diesel) with six or more cylinders; crankshaft drives for engines of cars and trucks.
G16.....	Parts of agricultural machinery; individual components of engines (gasoline or diesel) for cars and trucks.
G6.3.....	Parts or process plant machines; marine main-turbine gears; centrifuge drums; fans; assembled aircraft gas-turbine rotors; fly wheels; pump impellers; machine-tool and general machinery parts; electrical armatures.
G2.5.....	Gas and steam turbines; rigid turbo generator rotors; rotors; turbo-compressors; machine-tool drives; small electrical armatures; turbine-driven pumps.
G1.....	Tape recorder and phonograph drives; grinding-machine drives.
G0.4.....	Spindles, disks, and armatures of precision grinders; gyroscopes.

Note: In general, for rigid rotors with two correction planes, one-half the recommended residual unbalance is to be taken for each plane; these values apply usually for any two arbitrarily chosen planes, but the state of unbalance may be improved upon at the bearings; for disc-shaped rotors, the full recommended value holds for one plane.

ตารางที่ ย-2

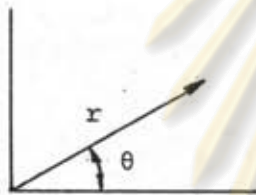


รูปที่ ย-3

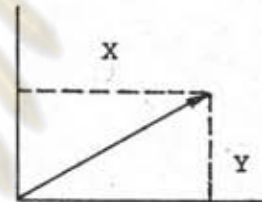
ภาคผนวก ค

การลบ คูณและหาร phasor

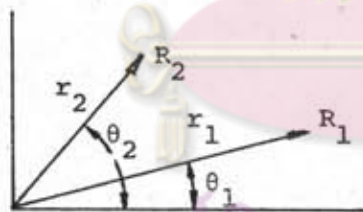
การตรวจสอบลอมลุ่มด้วยงานหมุน เราต้องทราบขนาดของการสั้น ซึ่งเกิดจากความไม่ลุ่มลุ่มและตำแหน่งของการสั้น ข้อมูลอันนี้ได้จากการวัด สามารถแทนได้ด้วย phasor ถูกกำหนดให้เป็นเวกเตอร์อ้างอิงกับระบบแกนร่วม xy ยึดอยู่กับที่ซึ่งเป็น Rotating reference มีขนาด (modulus) และตำแหน่ง (Argument) หรือหาได้จากองค์ประกอบของ X และ Y ดังแสดงในรูปที่ค-1 และค-2 ซึ่งเขียนอยู่ในรูปของ polar form และ rectangular form ฉะนั้นในการแก้ปัญหาของความไม่ลุ่มลุ่มเกี่ยวข้องกับการคำนวณทางพีชคณิต โดยเฉพาะอย่างยิ่ง การลบ คูณและหารของ phasor ดังจะได้อธิบายด้วยสมการต่าง ๆ ดังต่อไปนี้



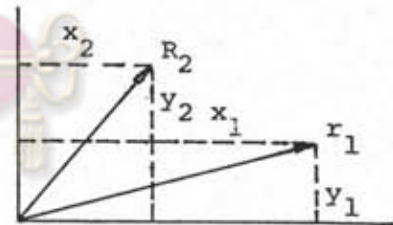
รูปที่ ค-1



รูปที่ ค-2



รูปที่ ค-3

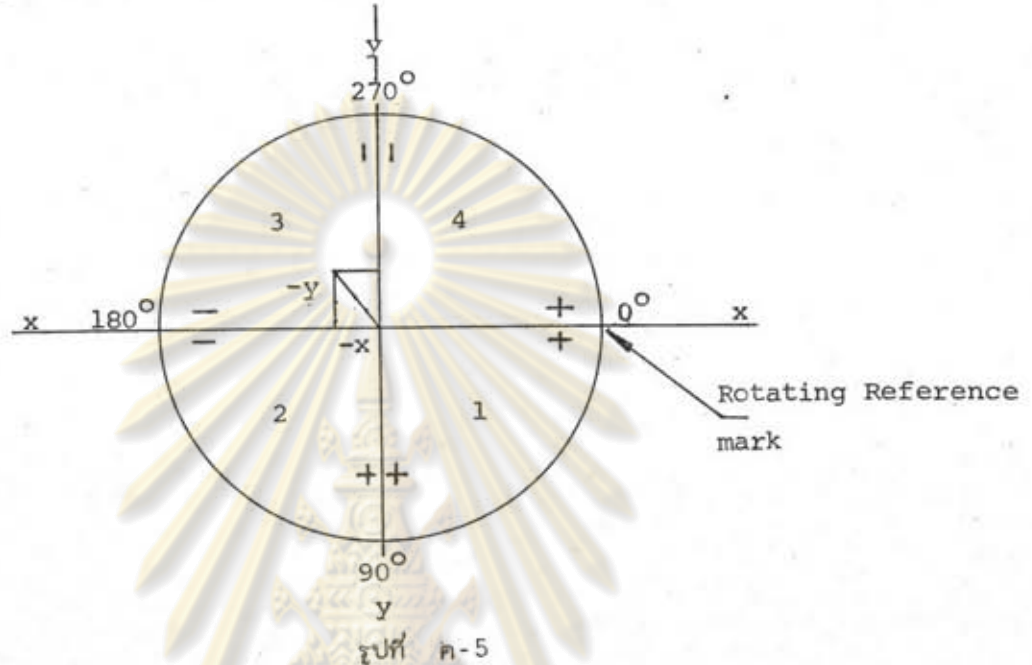


รูปที่ ค-4

- \Rightarrow phasor $R_2 - \text{phasor } R_1$ \Rightarrow phasor $R_1 \div \text{phasor } R_2$
 Y คือ องค์ประกอบของ resultant $= y_2 - y_1$ ขนาดของ resultant
 X คือ องค์ประกอบของ resultant phasor $= x_2 - x_1$ phasor $= r_1 \div r_2$
 \Rightarrow phasor $R_1 \times \text{phasor } R_2$ ตำแหน่งของ resultant
 ขนาดของ resultant phasor $= r_1 \times r_2$ phasor $= \theta_2 - \theta_1$
 ตำแหน่งของ resultant phasor $= \theta_1 + \theta_2$

การกำหนดเครื่องหมายใน Quadrant ต่าง ๆ

การลบ คูณ และหารของ phasor ต้องสัมพันธ์กับการกำหนดเครื่องหมายใน quadrant ต่าง ๆ และการกำหนดตำแหน่งเชิงมุมให้เพิ่มขึ้นในทิศทางทวนหรือตามเข็มนาฬิกาของ protractor ดังแสดงในรูปที่ ค-5



ตัวอย่างแสดงการลบ คูณ และหารของ phasor

อาศัยหลักเบื้องต้นการเปลี่ยนฟอร์ม จะต้องเปลี่ยน polar form ไปเป็น Rectangular form และจาก Rectangular ไปเป็น polar form กลับไปมาเช่นนี้ และใช้ตรีโกณมิติเข้าช่วยด้วย

กำหนดให้ $V_a = 0.30 \angle 95^\circ$, $V_b = 0.33 \angle 350^\circ$

$\alpha_{aII} = 4.28348 \times 10^{-4} \angle 290^\circ$, $\alpha_{bII} = 1.47975 \times 10^{-3} \angle 104^\circ$

$$\bar{U}_1 \cdot \Delta = \alpha_{bII} \cdot V_a - \alpha_{aII} \cdot V_b$$

$$= 4.43925 \times 10^{-4} \angle 199^\circ - 1.41354 \times 10^{-4} \angle 280^\circ$$

$$\begin{aligned}
 &= (4.43925 \times 10^{-4} \cos 199^\circ)_x + (4.43925 \times 10^{-4} \sin 199^\circ)_y - \\
 &\quad (1.41354 \times 10^{-4} \cos 280^\circ)_x + (1.41354 \times 10^{-4} \sin 280^\circ)_y \\
 &= (-4.44275 \times 10^{-4})_x - (5.32 \times 10^{-6})_y
 \end{aligned}$$

$$\bar{u} \cdot \Delta = 4.44306 \times 10^{-4} \angle 180.646^\circ$$



ศูนย์วิทยทรัพยากร
จุฬาลงกรณ์มหาวิทยาลัย

การติดตั้งเตรนเกจและการต่อวงจร Wheatone Bridge

ลเตรนเกจที่นำมาใช้ detect ขนาดการสั่นเป็นเกจแบบ foil ชนิด ไคโนมิค
ลเตรนเกจ มีคุณสมบัติดังนี้

gage length 8 mm.

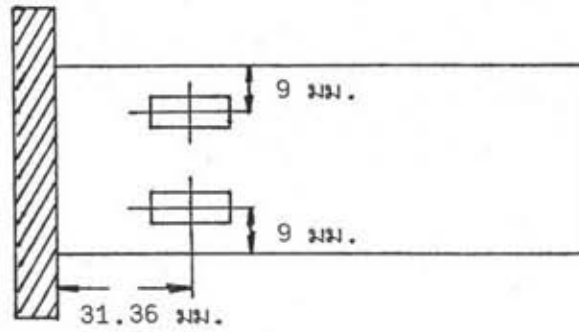
gage factor = 2.00 ± 1 %

K = -0.7 %

$R_1 = R_2 = R_3 = R_4 = 120 \Omega \pm 0.3$

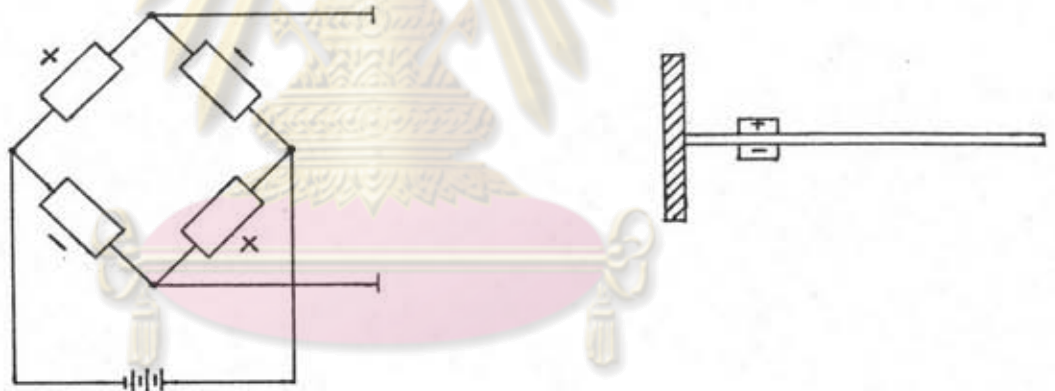
เมื่อได้เลือกชนิดของลเตรนเกจที่เหมาะสมกับการใช้งาน และมีคุณสมบัติตามที่ต้อ
การ ดังนั้นขั้นตอนการติดตั้งเตรนเกจ มีดังนี้

1. เตรียมชิ้นงานหรือ specimen สำหรับในกรณีของเราเครื่องตรวจสอบใช้
ชิ้นงานแบบสตีลพริงแผ่น (stainless steel beam) มีลักษณะรูปร่างดังแสดงในภาพ
2. บริเวณที่เราได้เลือกไว้จะติดตั้งเตรนเกจ ต้องขัดให้มันเป็นเงา ด้วยกระดาษ
ทรายชนิดละเอียดเบอร์ 500 จากนั้นใช้ผ้าที่สะอาดเช็ดและล้างด้วยอะซิโตน จนกระทั่งผิว
บริเวณนั้นสะอาด
3. ต้องกำหนดและให้ มิติ บริเวณที่ติดตั้งเตรนเกจ ทั้งด้านบนและด้านล่าง
ดังแสดงในรูปเล่มรีจแล้วต้องล้างให้สะอาดอีกครั้งหนึ่ง
4. ใช้กาวชนิดใส สำหรับติดตั้งเตรนเกจโดยเฉพาะ ทาลงบริเวณผิวงาน จาก
นั้นพิจารณาว่าลเตรนเกจด้านไหนควรจะติดแนบผิวงาน จากนั้นใช้ Tape แปะติดอีกด้านหนึ่ง
เพื่อสะดวกในการติด
5. ใช้นิ้วมือสับ Tape นำมาทาบติดกับผิวโดยให้ตรงกับเส้นเครื่องหมายทั้ง 2
แนว เล่มรีจแล้วใช้นิ้วหัวแม่มือกดลเตรนเกจสัมผัสกับผิวอย่างเบา ๆ หลังจากนั้นรอให้กาวแห้ง
ประมาณ 1 นาที ค่อยดึงออกได้ สำหรับลเตรนเกจตัวอื่น ๆ ก็ดำเนินการติดในลักษณะที่
เหมือนกัน



รูปที่ ง-1

การต่อวงจร Wheatstone Bridge



รูปที่ ง-2

หมายเหตุ

ศูนย์วิทยทรัพยากร
จุฬาลงกรณ์มหาวิทยาลัย

- ในวงจรวัดสี่โรตริบรีดจ์ ต้องระมัดระวัง ถ้าหากต่อผิด เมื่อป้อนแรงดันเข้าไปแล้วมีโวลต์มากกระทบบัสสปริงแผ่น ความต้านทานเดิม R เปลี่ยนไปเป็น $(R+\Delta R)$ มิเตอร์จะไม่อ่านค่า
- สเตรนเกจทั้ง 4 ตัวเป็น Four Active gage สำหรับวัด Bending Strain ความเครียดเนื่องจากโวลต์ในแนวแกนถูกกำจัดไป และยึดเย็บจุดหมุน

ไปในตัวด้วย

- โอกาสที่ลิ้นเตรนเกจเกิดการเสียหายได้ จะเป็นในกรณีที่ได้รับไหลตจากภายนอกมากเกินไป หรือสปริงแผ่นเกิดการลื่นมากเกินไป จะทำให้ลิ้นเตรนเกจเกิดการ slip ได้ ผลิตให้มีเตอร์อ่านค่าได้น้อยหรือไม่อ่านค่าเลย
- เมื่อต่อวงจรวัดสโตนบริดจ์เสร็จเรียบร้อยแล้ว ควรใช้ ยี่ผี้ง ทาบบริเวณผิวของลิ้นเตรนเกจทั้ง 2 ด้าน ป้องกันความชื้นที่จะมีผลต่อลิ้นเตรนเกจ

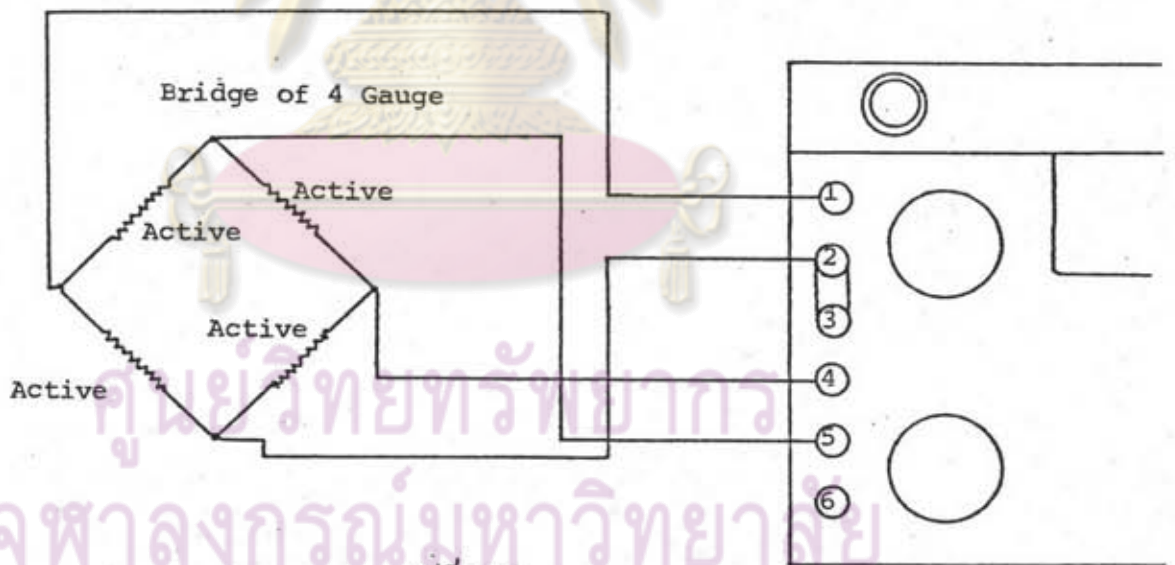
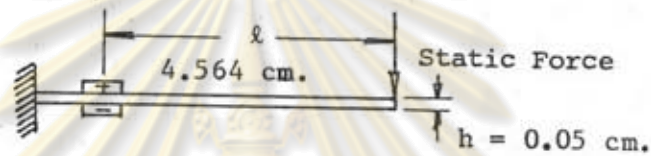


ศูนย์วิทยทรัพยากร
จุฬาลงกรณ์มหาวิทยาลัย

การทดลอง strain gage Transducer

วัตถุประสงค์

1. ต้องการทราบความสัมพันธ์ระหว่าง strain กับ Force เมื่อสปริงแผ่นได้รับ static load กระทำในลักษณะของโมเมนต์ดัด
2. หาค่า young's modulus of Elasticity ของสปริงแผ่นซึ่งเป็น stainless steel strip



รูปที่ จ-1

ขั้นตอนการทดลอง

1. นำสปริงแผ่นซึ่งติดตั้งเตรนเกจเรียบร้อยแล้วไป clamp ในลักษณะของ cantilever beam จากนั้นต่อวงจรเข้ากับเครื่องมือวัด (portable strain gage Bridge) ดังแสดงในรูป จ-1

2. เติมน้ำหนักที่ปลายคานในลักษณะของการแขวนน้ำหนักขนาดต่าง ๆ และ
 ต่ำเนินการตามขั้นตอนต่าง ๆ ของการปรับเครื่องมือวัด อ่านค่าความเครียดออกมาตั้ง
 แสดงในตารางที่ จ-1

ตารางที่ จ-1

Weight gm.	Strain (ϵ)
8.015	13.00×10^{-6}
9.015	16.00×10^{-6}
10.015	18.00×10^{-6}
11.015	20.00×10^{-6}
12.015	22.00×10^{-6}
17.015	30.00×10^{-6}
22.015	39.00×10^{-6}
27.015	47.50×10^{-6}
32.015	57.75×10^{-6}
37.015	67.00×10^{-6}
42.015	75.50×10^{-6}
47.015	83.50×10^{-6}

การคำนวณหาค่า Young's modulus of Elasticity; (E)

$$F = 10 \times 10^{-3} \text{ kg.} \quad \ell = 4.564 \text{ cm.}$$

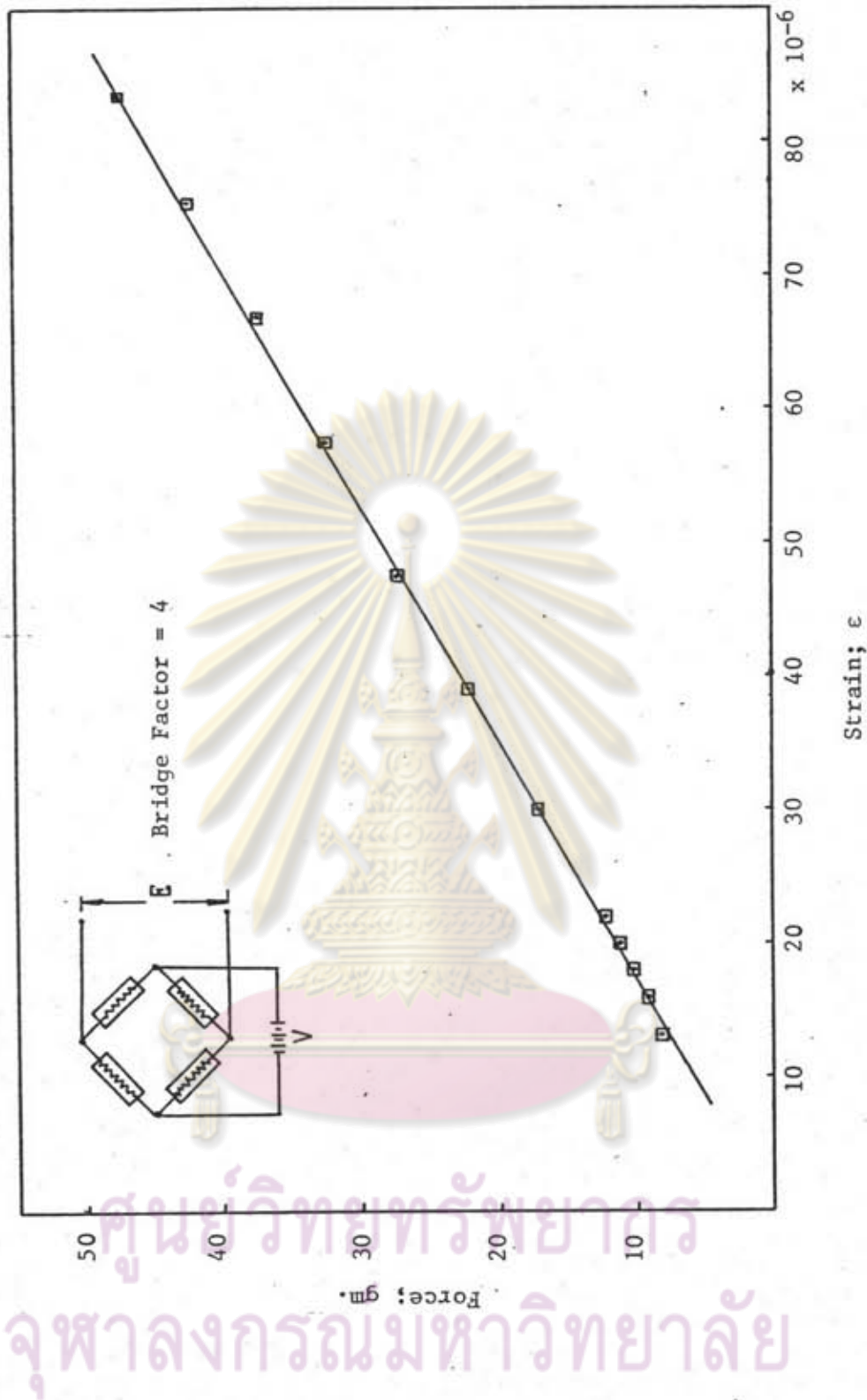
$$C = 0.025 \text{ cm.} \quad I = bh^3/12 = 3.9125 \times 10^{-5} \text{ cm}^4$$

$$\epsilon = 17.4 \times 10^{-6}$$

$$S = M/Z = 10 \times 10^{-3} \times 4.564 \times 0.025 / 3.9125 \times 10^{-5}$$

$$= 29.162 \text{ Kg/cm}^2$$

$$E = S/\epsilon = 1,676,030.9 \text{ kg/cm}^2$$



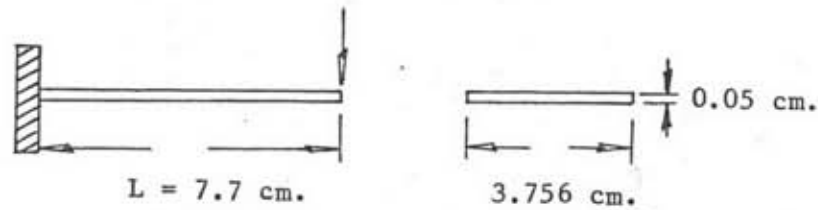
ผลการตรวจล่อทราหมตัว เซอร์

รูปที่ ๑-2

ผลการทดลอง

นำค่า ความเครียดขนาดต่าง ๆ ที่ได้จากการทดลองไปพล็อตระหว่าง ความเครียด กับ แรง ทิศจรณากราฟรูปที่ ๑-2 จะเห็นได้ว่า เมื่อเพิ่มขนาดน้ำหนักขึ้นเรื่อย ๆ ปรากฏว่า ความเครียดเพิ่มขึ้นเกือบจะเป็นสัดส่วนโดยตรงกับแรงที่มากระทำต่อสปริงแผ่น สำหรับค่า Young's modulus of Elasticity ของสปริงแผ่นมีค่าเท่ากับ $1,676,030.9 \text{ Kg/cm}^2$

การหาความถี่ธรรมชาติของระบบรองรับ



จากสูตร ความแข็งของสปริงแผ่น $k = 3EI/L^3$

ซึ่ง

I = Moment of Inertia of cross-section area

E = Young's modulus of Elasticity

= 1,676,030.9 kg/cm² for stainless steel

$$k = \frac{3 \times 1,676,030.9 \times 3.756 (0.05)^3}{(7.7)^3 (12)} = 0.4309 \text{ kg/cm.}$$

$$K_{\text{Total}} = 4k = 1.7236 \text{ kg/cm.}$$

น้ำหนักของแผ่นดีส = 1,189.6 gm.

น้ำหนักของเพลลา = 2,683.63 gm.

น้ำหนักของแบริ่ง = 10,500 gm.

รวมน้ำหนักทั้งหมด = 14,373.23 gm.

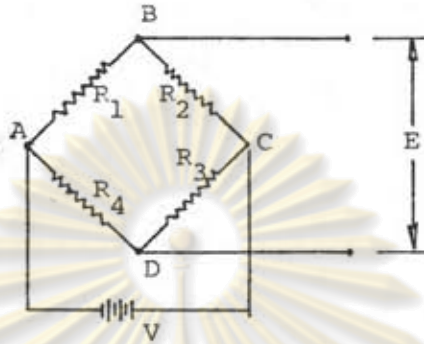
$$\omega_n = \sqrt{\frac{K}{M}} = \sqrt{\frac{1,7236 \text{ kg/cm.} \times 981 \text{ cm/sec}^2}{14.373 \text{ kg.}}}$$

= 10.85 rad./sec.

$$\omega_n = \frac{60}{2\pi} (10.85) = 103.61 \text{ rpm.}$$

$f_n = 1.73 \text{ Hz.}$

The Wheatstone Bridge



รูปที่ ฉ-1

เพื่อที่จะแสดงหลักการทำงานของวีลส์โตนบริดจ์ ซึ่งเป็นตัวรับสัญญาณอ่านค่าในรูปของความเครียด (strain) ออกมาโดยตรง (ซึ่ง ΔE ถูกวัดเพื่อที่จะหาค่าความเครียด) แขนของบริดจ์ทั้งสี่เป็นสี่เหลี่ยมด้านขนานที่มีความต้านทานเท่ากัน พิจารณาวงจรข้างบน เมื่อป้อนแรงดัน (V) ให้กับชุดวีลส์โตนบริดจ์ จะทำให้เกิด Voltage ตกคร่อม R_1 กำหนดให้เป็น V_{AB} ซึ่งมีค่าเท่ากับ

$$V_{AB} = \frac{R_1}{R_1 + R_2} \cdot V \quad (a)$$

เช่นเดียวกับ Voltage ตกคร่อม R_4 กำหนดให้เป็น V_{AD} มีค่าเท่ากับ

$$V_{AD} = \frac{R_4}{R_3 + R_4} \cdot V \quad (b)$$

Voltage ที่ออกมาจากบริดจ์ (E) มีค่าเท่ากับ V_{BD}

$$E = V_{BD} = V_{AB} - V_{AD} \quad (c)$$

นำค่าในสมการ (a) และ (b) แทนลงในสมการ (c) จะได้

$$E = \frac{R_1 R_3 - R_2 R_4}{(R_1 + R_2)(R_3 + R_4)} \cdot V \quad (d)$$

ถ้าหากบริดจ์อยู่ในสภาวะสมดุลก็ต่อเมื่อ Voltage ($E = 0$) จะได้

$$R_1 \cdot R_3 = R_2 \cdot R_4$$

เมื่อบริดจ์อยู่ในโหลดที่มากกระทำ ก็จะทำให้ความต้านทานเดิมแต่ละตัวคือ R_1 , R_2 , R_3 และ R_4 เปลี่ยนไปโดยเพิ่มขึ้นไปเป็นจำนวน ΔR_1 , ΔR_2 , ΔR_3 และ ΔR_4 ดังนั้น voltage (E) ที่ออกมาจากบริดจ์ หาได้จากสมการ (d) .

$$E = \frac{\begin{vmatrix} R_1 + \Delta R_1 & R_2 + \Delta R_2 \\ R_4 + \Delta R_4 & R_3 + \Delta R_3 \end{vmatrix}}{\begin{vmatrix} R_1 + \Delta R_1 + R_2 + \Delta R_2 & 0 \\ 0 & R_3 + \Delta R_3 + R_4 + \Delta R_4 \end{vmatrix}} \cdot V$$

$$= V \cdot \frac{A}{B}$$

A และ B เป็นค่า Determinant , ต้องขยาย determinant เหล่านี้ และไม่คิด Second-order เทอม, $R_1 R_3 = R_2 R_4$

$$A = R_1 R_3 \left(\frac{\Delta R_1}{R_1} - \frac{\Delta R_2}{R_2} + \frac{\Delta R_3}{R_3} - \frac{\Delta R_4}{R_4} \right)$$

$$B = R_1 R_3 (R_1 + R_2)^2 / R_1 R_2$$

ผลในที่สุดจะได้ Different Voltage (ΔE) ที่จะต้องนำไปป้อนให้กับชุด Analyzer

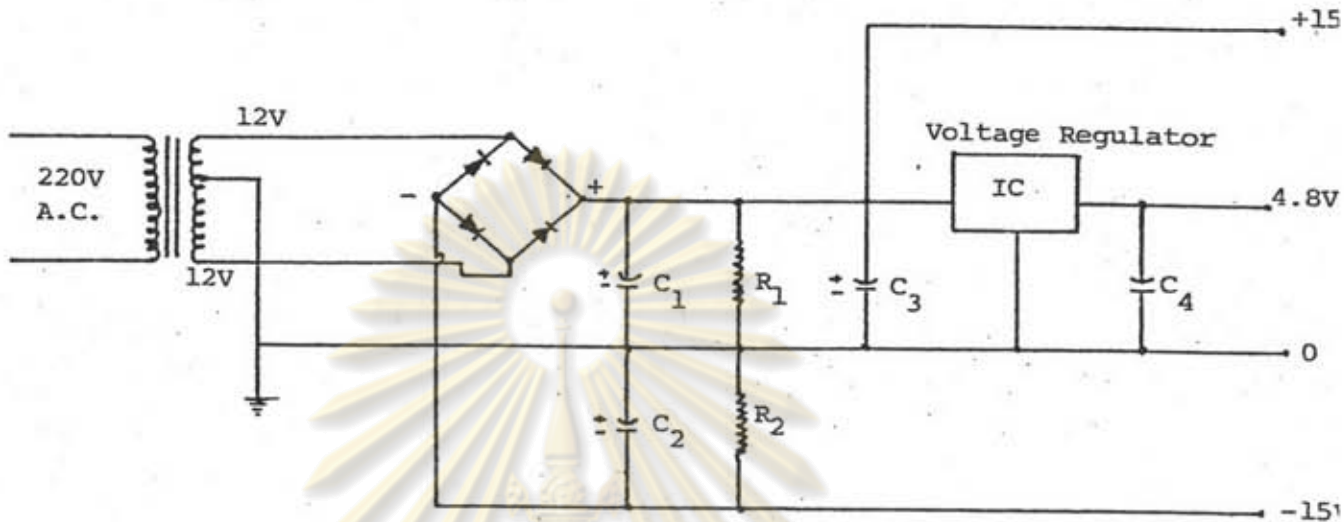
$$\Delta E = \frac{V \cdot R_1 R_2}{(R_1 + R_2)^2} \left(\frac{\Delta R_1}{R_1} - \frac{\Delta R_2}{R_2} + \frac{\Delta R_3}{R_3} - \frac{\Delta R_4}{R_4} \right)$$

$$\text{ให้ } \Delta R_2 = \Delta R_4 = -\Delta R \text{ และ } \Delta R_1 = \Delta R_3 = \Delta R$$

$$\Delta E = V \Delta R / R$$

ภาคผนวก ข.

power supply



รูปที่ ข-1

วงจร power supply ประกอบด้วย step down Transformer , Bridge rectifier, R-C filter, Voltage Regulator

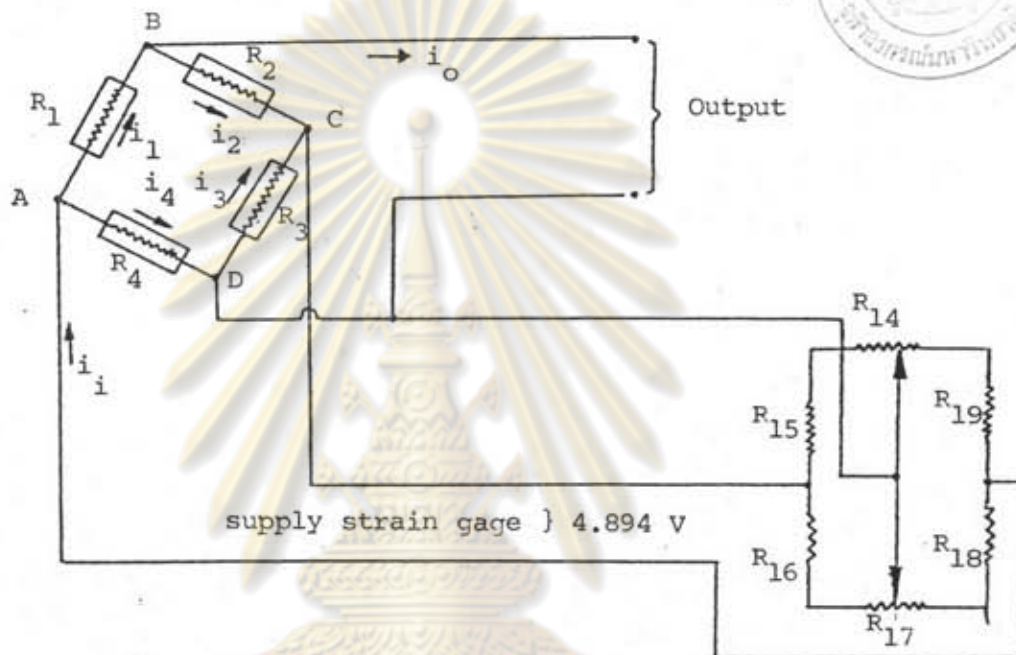
หลักการทำงานของวงจร power supply

เมื่อป้อนไฟ A.C. ให้กับหม้อแปลงด้วยแรงดัน 220 V เกิดสนามแม่เหล็กทางด้านขดลวดปฐมภูมิ เกิดการเหนี่ยวนำทางด้านขดลวดทุติยภูมิ ลดแรงดันเหลือ 12 V เป็นไฟกระแสสลับ ป้อนให้กับชุดบริดจ์เรกติไฟเออร์ เพื่อเปลี่ยนไฟกระแสสลับให้เป็นไฟกระแสตรง คลื่นกระแสตรงยังไม่เรียบต้องกรองให้เรียบโดยให้สัญญาณผ่านอาร์-ซี ฟิวเตอร์ จากนั้นลดแรงดันลงโดย voltage regulator ให้เหลือ 4.8 V เพื่อที่จะนำไปป้อน (supply) ให้กับ sensor หรือทรานซิสเตอร์

กระแสไฟตรงที่มีความต่างศักย์เป็นบวก มีขนาดของ supply เท่ากับ +15 V และกระแสไฟตรงอีกด้านหนึ่งมีความต่างศักย์เป็นลบ ซึ่งมีขนาดของ supply เท่ากับ -15 V

ดังนั้น กระแสไฟตรงซึ่งมีความต่างศักย์เป็น + 15 V. เพื่อที่จะนำไปป้อนให้กับ IC. ของ วงจรภาคขยาย ภาคกรองความถี่ ชุด Meter driver , comparator กระตุ้นให้ ทราานซิลิเตอร์ในตัว IC. พร้อมทั้งจะทำงาน

Wheatstone Bridge strain gage และ Potentiometer



รูปที่ ๒-2

พิจารณารูปข้างบนแสดง D-C wheatstone Bridge ประกอบด้วยคลื่นแกน จำนวน 4 ตัว (four active gage) supply ไฟ D.C. เท่ากับ 4.894 ให้ กับชุดวงจรวัดลิตอนบรีดจ์ก่อนที่วงจรได้รับความเครียด เนื่องจากแรงที่มากกระทำจากภายนอก มีความจำเป็นที่จะต้อง Balance Bridge ก่อน โดยการปรับ Coarse กับ Fine ของชุดโพเทนโอมิเตอร์

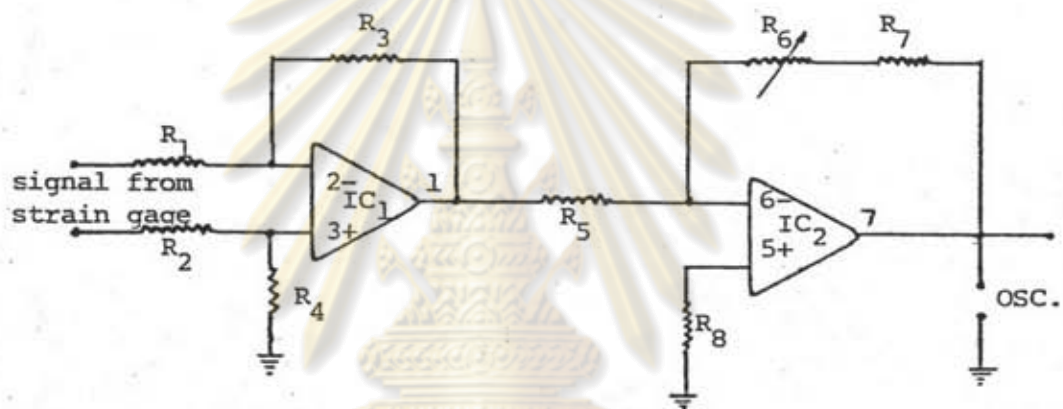
เงื่อนไขของการ Balance หากนำมิเตอร์ไปต่อที่ Output จะไม่มีกระแสไหลผ่านมิเตอร์ หากอ่านค่าได้ศูนย์จริง $i_1 = i_2$ และ $i_4 = i_3$ หรือ $i_4 R_4 = i_1 R_1$ และ $i_2 R_2 = i_3 R_3$ เราจะได้ความสัมพันธ์จากเงื่อนไขของการ Balance ดังนี้

$$R_2 R_4 = R_1 R_3$$

$$\frac{R_2}{R_1} = \frac{R_3}{R_4} \quad \text{หรือ} \quad \frac{R_2}{R_3} = \frac{R_1}{R_4}$$

หากดูจากความสัมพันธ์จะเห็นว่าเมื่ออยู่ใน Balance condition ($E_{out} = 0$)
 ก็จะได้ constant current wheatstone Bridge

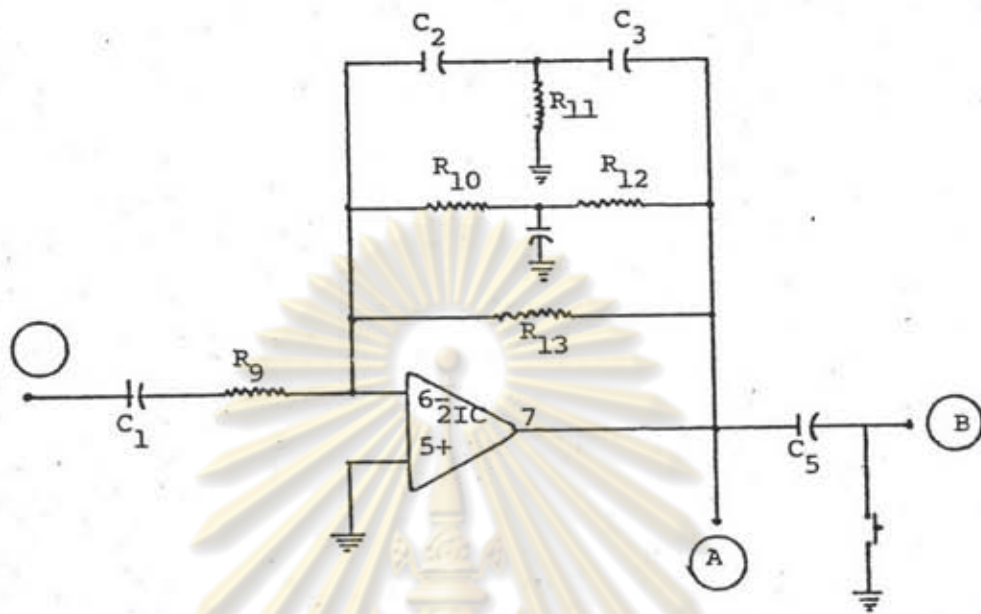
ภาคขยาย (Amplifier)



รูปที่ ย-3

วงจรภาคขยายประกอบด้วย Differential Amplifier และชุดขยายแบบกลับ
 เฟส (inverting Amplifier) เมื่อ signal จากลวดเรขาคณิตเข้ามาด้วยขนาดของ
 สัญญาณต่ำมาก จำเป็นต้องขยายให้สูงขึ้นโดยผ่าน differential Amplifier ที่มีการป้อน
 กลับโดยขยายด้วยอัตราขยายเท่ากับ $\frac{R_3}{R_1} \times \text{input}$ จากนั้นสัญญาณก็เข้าสู่ชุดขยายแบบกลับเฟส
 ซึ่งเป็นวงจรพื้นฐานมีอัตราขยายปิดลูป (closed Loop) เท่ากับ $\frac{R_6+R_7}{R_5} \times \text{input}$ โดย
 ที่ R_6 ปรับ gain การขยาย ซึ่งขยาย 2 stage ดังนั้น signal ที่ออกจากภาค
 ขยายไม่เรียบ ดูได้จากออสซิลโลสโคป

ภาคกรองความถี่ต่ำ (Low-pass filter)



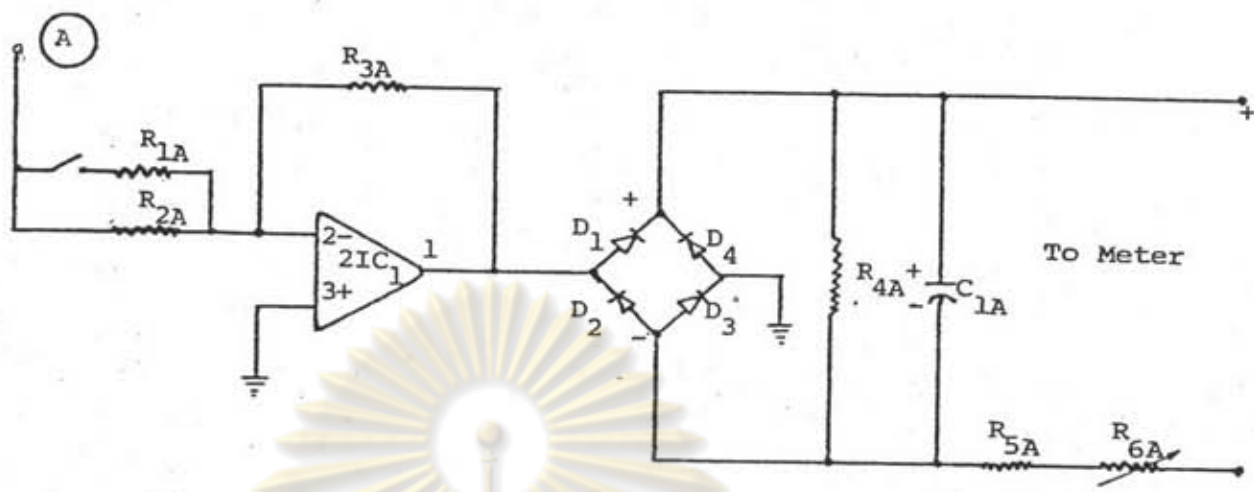
รูปที่ ๒-4

เนื่องมาจากสัญญาณที่ผ่านการขยายมาแล้วนั้นประกอบด้วยสัญญาณที่มาจากคลื่นเทรนสเฟอส่วนหนึ่งกับสัญญาณรบกวนจากแหล่งภายนอกซึ่งเป็น Higher order Effect. เช่น Electrical Noise. สัญญาณรบกวนเหล่านี้มีความถี่สูง เมื่อสัญญาณเข้าภาคกรองความถี่ จะยอมให้สัญญาณที่มีความถี่ต่ำเท่านั้นผ่านช่วงหนึ่งซึ่งในระบบของเราความถี่ประมาณ 25 Hz. สำหรับความถี่สูง ๆ จะถูกกรองทิ้งออกไป หรือลดขนาดสัญญาณรบกวนให้ต่ำลงให้มากที่สุด

ดังนั้นลักษณะของ wave form ที่ออกมาจากภาคกรองความถี่มีรูปร่างแบบ sinusoidal wave ซึ่งเป็นฟังก์ชันของ sinewave ให้มัน smooth มากที่สุด

Meter Driver

ชุด Meter driver ประกอบด้วย inverting Amplifier 1 ชุด Bridge Rectifier , R-C filter และ Meter



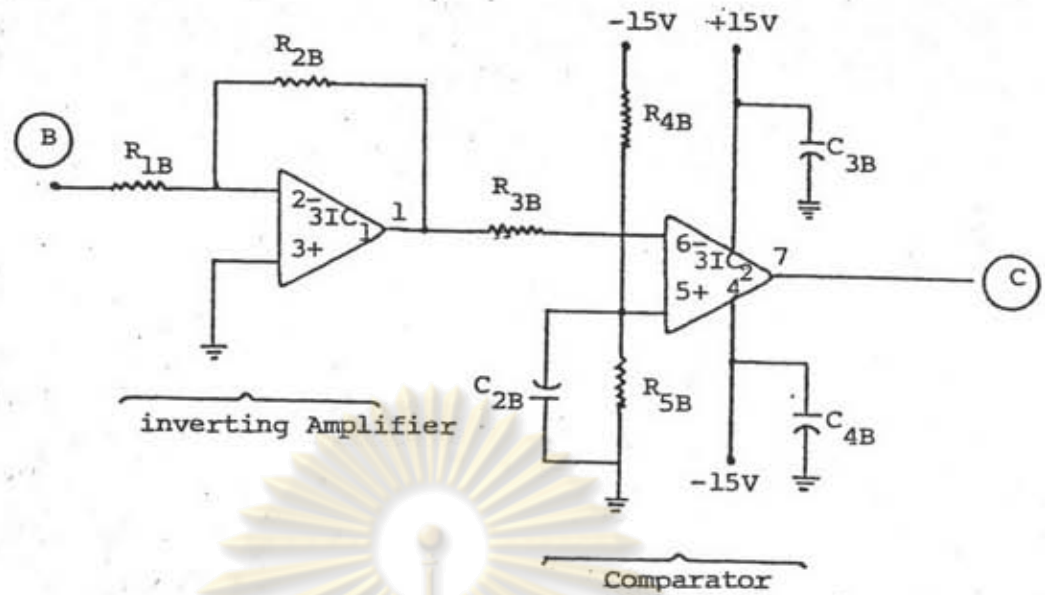
รูปที่ ข-5

ลักษณะของ signal ที่ออกจากภาคแรงดันต่ำ เป็นแบบ A.C เข้ามายังจุด A แล้วผ่านเข้าภาคขยายของชุด inverting Amplifier ขยายสัญญาณจากเดิมให้แรงขึ้นอีก ด้วยอัตราขยายเท่ากับ (R_{3A}/R_{2A}) (input) จากนั้นผ่านมายังชุดบริดจ์เรกติไฟเออร์ ซึ่งทำหน้าที่แปลงไฟ A.C. ไปเป็นไฟ D.C. แต่ลักษณะรูปร่างของสัญญาณยังไม่เรียบพอ ต้องให้ผ่านชุด อาร์-ซี ฟิวเตอร์ เพื่อกรองสัญญาณให้เรียบมากที่สุดเกือบเป็นเส้นตรง จากนั้นขนาดของสัญญาณเข้าไปยังมิเตอร์ เพื่อที่จะแสดงค่าขนาดของสัญญาณ มิเตอร์จะอ่านค่า Mean อ่านออกมาในหน่วย milliampere (mA)

Comparator

พิจารณาวงจรข้างบนนี้ประกอบด้วย inverting Amplifier และ comparator สัญญาณที่มาจากภาคแรงดันต่ำต้องนำมาขยายให้แรงขึ้น ซึ่งมีอัตราขยายเท่ากับ $\frac{R_{2B}}{R_{1B}} \times \text{input}$ จากนั้นสัญญาณที่ผ่านการขยายแล้วเข้ายังชุด comparator เข้ามาเปรียบเทียบกับแรงดันอ้างอิง

ชุด comparator ประกอบด้วย OP.AM 1 ตัว , Voltage divider 2 ชุด ก่อนที่ชุด comparator จะทำงานต้องจ่ายแรงดัน ± 15 V ไปเลี้ยงตัว I.C. ให้



รูปที่ ๕-6

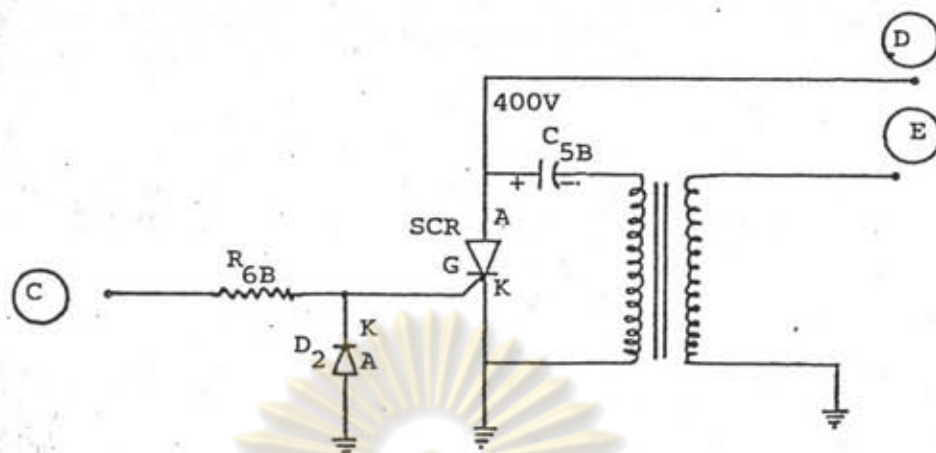
พร้อมที่จะทำงาน เมื่อจ่ายแรงดันเข้าไปแล้วหากมีความถี่สูง ๆ ปะปนเข้ามาจะถูก by pass ลงดิน โดยผ่านทางคาปาซิเตอร์ (C_{3B} และ C_{4B})

สำหรับการสร้างแรงดันอ้างอิงนั้นเราต้องจ่ายแรงดัน -15 V ผ่าน Voltage divider (R_{4B}) ลดจำนวนกระแสเข้าขั้วบวกของ I.C. หากมีความถี่สูง ๆ ปะปนเข้ามากก็จะถูก by pass ผ่าน C_{2B} ลงดินเช่นเดียวกัน ฉะนั้นเราจะได้แรงดันค่าหนึ่ง ซึ่งเป็นค่าถูก set ไว้ให้อยู่ในระดับที่คงที่ เราเรียกว่า แรงดันอ้างอิง

ขณะที่สัญญาณที่เข้ามาขยับ comparator ด้วยขนาดแรงดันของสัญญาณค่าหนึ่งต้องมาเปรียบเทียบกับแรงดันอ้างอิง หากมีขนาดแรงดันของสัญญาณที่มากกว่าแรงดันอ้างอิง จะยอมให้ผ่านไปได้ กรณีที่น้อยกว่าแรงดันอ้างอิง จะไม่ยอมให้ผ่านไปที่ทรานซิสเตอร์ เอล. ซี. อาร์. ทำงาน

การทำงานของภาคทริก (Trigger circuit)

ขณะที่สัญญาณส่งออกมาจากขั้ว comparator จะเป็นลักษณะแบบโหนดขึ้นอยู่กับการออกแบบ แต่เครื่องของเรามีลักษณะรูปร่างแบบ square wave ซึ่งจะต้องนำไปที่ทรานซิสเตอร์ เอล. ซี. อาร์. ทำงาน แต่ว่าต้องแปลงให้เป็นไฟกระแสตรง ก่อนเข้าขั้ว gate (G) โดยการให้ Negative half cycle ของไฟ AC. รั้งผ่านไดโอด (D_2) ลงดิน



รูปที่ ๗-7

ตัดทิ้งไปเหลือเฉพาะ positive half cycle ซึ่งเป็นสัญญาณที่จะนำไปใช้ในการทริกให้ SCR นำกระแสสัญญาณที่เราเรียกว่า gate pulse

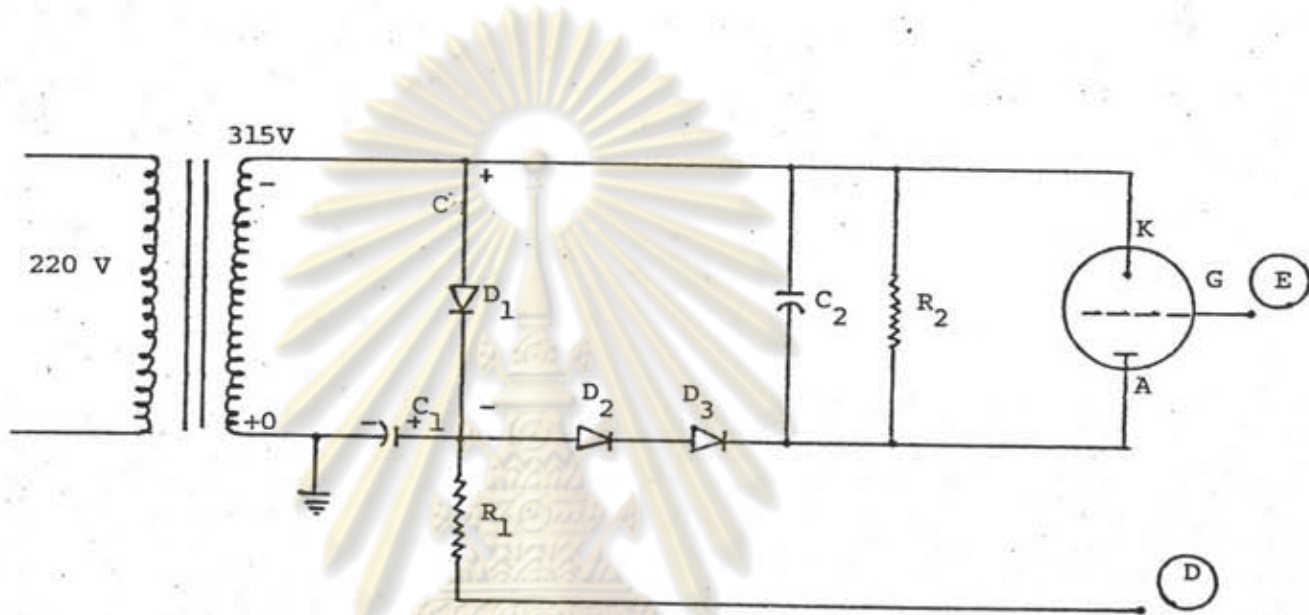
ขณะที่ gate pulse เข้าไปที่ขา gate (G) แล้ววิ่งผ่าน เอล. ซี. อาร์ ลงดิน ทางขาคาโทด (K) ไปโดยง่ายตาม ตอนนี้ เอล. ซี. อาร์ จะยังไม่นำกระแส ขณะเดียวกันไฟ DC. ที่มาจากวงจร power supply สำหรับหลอด xenon ผ่านความต้านทาน R_1 เพื่อลดจำนวนกระแสลงเข้ามาประจุกระแสให้กับคาปาซิเตอร์ (C_{5B}) และเมื่อ voltage ที่มีความต่างศักย์เป็นบวกที่ขั้วอโนด (A) เมื่อเทียบกับคาโทด (K)

เอล. ซี. อาร์ จะทำหน้าที่เป็น S.W. เปิดให้กระแสไหลจากขั้วอโนด ผ่านไปยังขั้วคาโทด ขณะที่ เอล. ซี. อาร์ นำกระแส ทำให้ขั้วหนึ่งของ C_{5B} short ลงดิน ทำให้กระแสไหลผ่านขดลวดปฐมภูมิของหม้อแปลงลงดิน ขณะเดียวกันนั้น ขดลวดปฐมภูมิเกิดการเหนี่ยวนำทำให้เกิดแรงดันสูงประมาณ 800 V ทางขดลวดทุติยภูมิ ไปจุดให้หลอด xenon ทำงานได้

เมื่อ gate pulse ทริกให้ เอล. ซี. อาร์ นำกระแสคาปาซิเตอร์คายเทออกหมดแล้วก็มาถึงช่วง Negative half cycle ซึ่งได้ตัดทิ้งไป เอล. ซี. อาร์ จะหยุดนำกระแส ขณะเดียวกันไฟ D.C. จะ charge กระแสเข้ายัง C_{5B} ประจุจนเต็มเพื่อจะได้เริ่มทำงานในวัฏจักรต่อไปอีก จะเห็นได้ว่า เอล. ซี. อาร์ ทำหน้าที่เป็นอิเล็กทรอนิกส์ สวิตช์ ปิดและเปิดให้กระแสไหลจากขั้วอโนดไปยังคาโทด

ปกปิดแล้วกระแสไฟทางต้านขั้วของอาโนด (A) พร้อมอยู่ตลอดเวลาที่จะไหลมายังคาโทด (K) เพียงแต่รอให้ gate pulse ซึ่งเป็นห้วง ๆ ไปทริกให้ เอส. ซี. อาร์ นำกระแสเท่านั้น

Power Supply for xenon Lamp



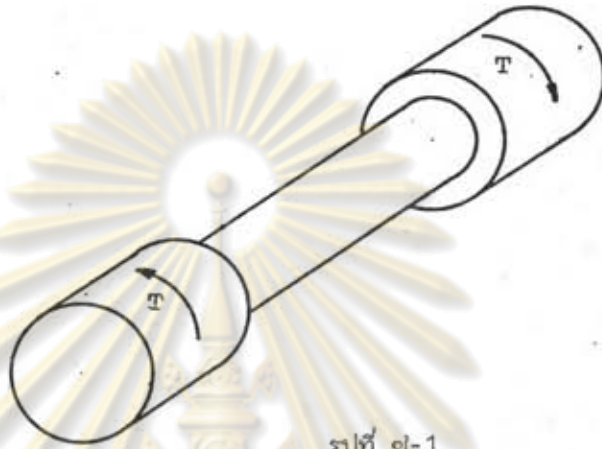
รูปที่ ๗-8

ปกปิดแล้วที่กริด (G) มี supply มีค่าเป็นลบ (-) เสมอ ส่วนแม่พิมพ์ภายในหลอดที่กริดเป็นลบ ทำให้อิเล็กตรอนไม่สามารถวิ่งผ่านจากคาโทด (K) ไปยัง อาโนด (A) ดังนั้นหลอด xenon จะไม่สว่าง เมื่อกริด (G) มีสัญญาณบวกเข้ามา ทำให้แม่พิมพ์ที่กริดภายในหลอดมีค่าส่วนแม่พิมพ์เป็นบวก ทำให้อิเล็กตรอนสามารถวิ่งจาก คาโทด (K) ไปยัง อาโนด (A) ได้ ทำให้แม่พิมพ์ภายในหลอดเกิดการ discharge เกิดแสงสว่างขึ้น สำหรับคาปาซิเตอร์ (C_2) ที่ต่อคร่อมอาโนด และ คาโทด นั้นจะทำงานเมื่อหลอดสว่าง จะทำหน้าที่ discharge กระแสผ่านหลอด เมื่อขณะที่หลอด xenonดับหรือไม่สว่าง , C_2 จะเก็บประจุไฟไว้เมื่อกริด (G) มีค่าส่วนแม่พิมพ์เป็นบวก

ภาคผนวก ช.

การคำนวณหาขนาด Flexible Shaft Coupling

การพิจารณาขนาดของ Shaft Coupling



รูปที่ ช-1

สำหรับ shaft coupling Material ซึ่งเป็น cold drawn steel AISI 1118 จาก Table ช-2 [25] ได้ค่า $S_u = 65 \text{ ksi}$; $S_y = 41 \text{ ksi} = (41)(6.895) = 282.695 \text{ N/mm}^2$

จาก Octahedral shear Theory

$$\text{ความต้านแรงเฉือนคราก } S_{ss} = (0.577)(S_y) = 163.115 \text{ N/mm}^2$$

pure Torque ที่กระทำต่อ shaft coupling จาก $T = 63,000 \text{ hp/n}$
 $= 63,000 \times 2/1440$
 $= 87.5 \text{ in-lb}$
 $= 9.89 \text{ N.m.}$

จากสมการ

$$S_s = Tr/J = 16 T/\pi d^3$$

ความเค้นเฉือนออกแบบ $S_s = S_y/N$ แรงที่กระทำต่อ shaft ย่างเริ่มต้นเป็นแรง
กระทกอย่างหนัก (shock load) เมื่องานหมุนต่อไปเรื่อย ๆ แรงก็จะกระทำลุ่ม่าลุ่มอ
จากตาราง $N = 7$

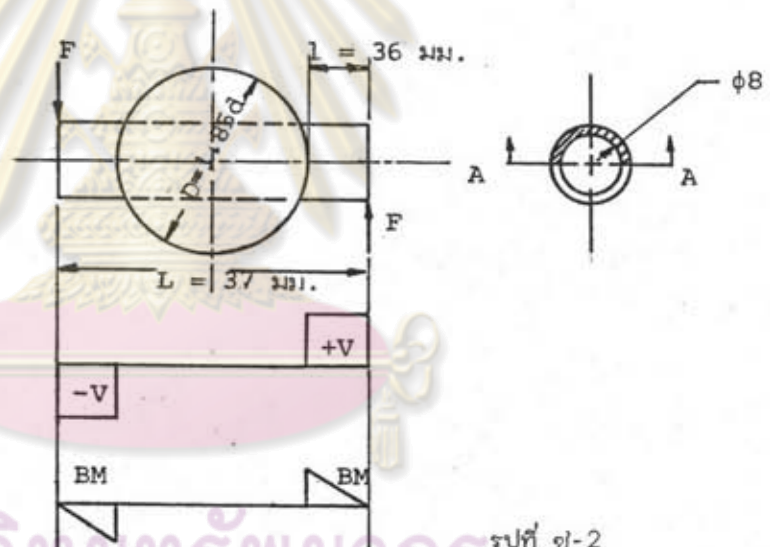
$$\therefore S_s = 163.115/7 = 23.302 \text{ N/mm}^2$$

และความเค้นเฉือนออกแบบ ; $S_s = 23.302 = 16 \times 9.89 \times 1000 / \pi d^3$

$$d = \sqrt[3]{\frac{16 \times 9.89 \times 1000}{\pi \times 23.302}} = 12.929 \text{ mm.}$$

เส้นผ่าศูนย์กลางของ shaft coupling = 13 mm

การพิจารณาขนาดของ rod หรือ pin



Torque จากมอเตอร์ถ่ายทอดให้กับวงแหวนจากนั้นผ่าน pin สู่ shaft coupling มีค่า
เท่า 87.5 in-lb

$$\text{ดังนั้นขนาดของแรงคู่ควบที่กระทำต่อ pin} = F \times l = 87.5 \text{ in-lb}$$

$$F \times \frac{3.7}{2.54} = 87.5$$

$$F = 87.5 \times 2.54 / 3.7 = 60.067 \text{ lb}$$

ขนาดของ pin คำนวณได้จากลักษณะของแรงที่กระทำต่อ pin ในลักษณะการเหินกับ โม่เมนต์ตัด

- ก. แรงกระทำในลักษณะของการเหิน สำหรับ pin material เป็นเหล็กกล้าเหนียว AISI 1118 $S_y = 41 \text{ ksi} = 282.695 \text{ N/mm}^2$

จาก octahedral - shear Theory

$$\text{ความต้านแรงเหินคราก } S_{ys} = 0.577 S_y = 163.115 \text{ N/mm}^2$$

$$\text{จากสมการ } \tau = F/A$$

$$F = 60.067 \text{ lb} = 267.178 \text{ N}, \quad N = \frac{\pi}{2} (R^2 - r^2) = \frac{\pi}{2} (R^2 - 4^2)$$

$$\text{ความเค้นเหินนอกแบบ } (S_d) = \frac{S_{ys}}{N}$$

จากตาราง 1.1 [8] หน้า 20 ใช้ค่าความปลอดภัยสำหรับ shock load = 7

$$S_d = 163.115/7 = 23.302 \text{ N/mm}^2$$

$$\text{แทนค่า } 23.302 = \frac{267.178}{\frac{\pi}{2} (R^2 - 4^2)}$$

$$R^2 = \frac{267.178 \times 2}{23.302 \times \pi} + (4)^2$$

$$R = 4.83 \text{ มม.}$$

$$d = 9.66 \text{ มม.}$$

ดังนั้นเส้นผ่าศูนย์กลางของ pin เท่ากับ 10 มม.

- ข. พิจารณาแรงที่กระทำในลักษณะของโมเมนต์ตัด

$$\begin{aligned} \text{โมเมนต์ตัดที่เกิดขึ้นกับ pin แต่ละด้าน ; } M = Fl &= 267.178 \times 6 \\ &= 1,603.068 \text{ N.mm.} \end{aligned}$$

จากสมการ

$$S_f = \frac{M}{Z}$$

$$\text{Design flexural stress ; } S_f = \frac{S_y}{N} = \frac{282.695}{7} = 40.385 \text{ N/mm}^2$$

แทนค่า

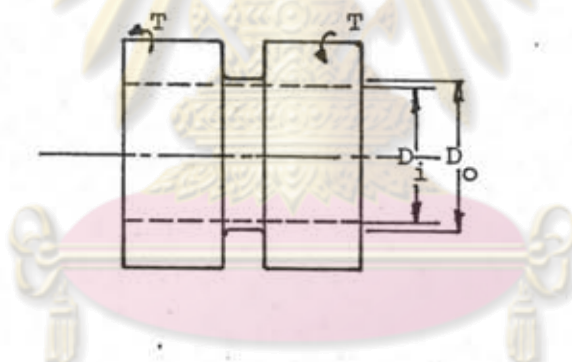
$$40.385 = \frac{1,603.068 \times 32}{\pi d^3}$$

$$d = \sqrt[3]{\frac{1,603.068 \times 32}{\pi \times 40.385}}$$

$$= 7.3946 \text{ m.m.}$$

ฉะนั้นขนาดของ pin ที่จะนำมาใช้มีขนาดเส้นผ่าศูนย์กลางเท่ากับ 10 มม.

การพิจารณาขนาดของ Hollow Cylinder



สำหรับ Hollow cylinder Material ซึ่งเป็น cold drawn steel AISI 1117 จาก Table A8 [8]

$$S_y = 35 \text{ ksi} = (35) (6.895) = 241.325 \text{ N/mm}^2$$

pure Torque ที่กระทำต่อ Hollow cylinder มีค่าเท่ากับ 9.89 N.m.

$$\text{จากสมการ } S_s = 16 T D_o / \pi (D_o^4 - D_i^4)$$

ความต้านแรงเฉือนคราก $S_{ys} = 0.577 S_y$ สำหรับ octahedral shear Theory

$$= (0.577) (241.325)$$

$$= 139.2445 \text{ N/mm}^2$$

$$\text{ความเค้นเค้นนอกแบบ } S_d \text{ หรือ } S_s = 139.2445/7 \text{ (N = ค่าความปลอดภัย)}$$

$$= 19.892 \text{ N/mm}^2$$

แทนค่า

$$19.892 = \frac{16 \times 9.89 \times 1,000 \times D_o}{\pi (D_o^4 - D_i^4)}$$

$$(D_o^4 - D_i^4) = \frac{16 \times 9.89 \times 1,000 \times D_o}{\pi \times 19.892} = 2,532.216 D_o$$

กำหนดให้เส้นผ่านศูนย์กลางภายในเท่ากับ 39 มม.

$$D_o^4 - 2,532.216 D_o = (D_i)^4 = 2,313,441$$

$$D_o = 39.414 \text{ มม.}$$

$$= 41 \text{ มม.}$$

ศูนย์วิทยทรัพยากร
จุฬาลงกรณ์มหาวิทยาลัย

ประวัติผู้เขียน

ข้าพเจ้านายบรรเท็ง สิทธิศิริประพันธ์ เกิดเมื่อวันที่ 12 มิถุนายน พ.ศ. 2498
บ้านปากพรุ ต. บางนบ อ. หัวไทร จ. นครศรีธรรมราช สำเร็จการศึกษาระดับปริญญาตรี
ที่วิทยาลัยเทคโนโลยีและอาชีวศึกษา วิทยาเขตเทเวศน์ เมื่อปีการศึกษา 2521 เคยรับ
ราชการครู ตำแหน่งอาจารย์ 1 ระดับ 3 ที่วิทยาลัยเทคนิคเชียงใหม่



ศูนย์วิทยทรัพยากร
จุฬาลงกรณ์มหาวิทยาลัย